

東京大学 正員 宮崎 正男  
 東京大学 正員 宮田 利雄

1. まえがき 本研究は、乱流中に於ける角柱の応答の一般的性状を明らかにするとともに、物体の代表長に対する乱流のスケールの効果を確認することを目的とする。使用した模型は、1:1, 2:3 及び 1:2 の矩形断面の部分模型で、寸法はそれぞれ 145×145, 100×100, 50×50, 100×150, 50×75, 33.3×50, 75×150, 37.5×50, 25×50 で、端板の大きさは全て 400φとした。(単位:mm), また、実験に用いた格子は、乱流のスケール  $L_x^u = 7.3\text{cm}$ , 乱流の強さ  $I_u = 11\%$  であった。本文中使用した記号は以下の通りである。

$\eta = \bar{a}/d$ ,  $U_r = \bar{U}/f_n d$ ,  $\Gamma = (2m/\rho b d l) \cdot \delta_s$ ,  $\bar{a}$ : 応答片振幅,  $d$ : 模型高さ,  $b$ : 模型全幅,  $l$ : 模型長さ,  $f_n$ : 曲げ振動数,  $\bar{U}$ : 平均風速,  $m$ : 系の質量,  $\rho$ : 空気密度,  $\delta_s$ : 対数構造減衰率  
 尚、平均応答振幅は、応答の R. M. S. 値を2倍することにより求めた。

2.  $\Gamma$  による効果 Fig. 1, 2 に 2:3 及び 1:2 角柱の代表長(全幅  $b$ ) と乱流のスケールとがほぼ等しい場合の応答値を示す。一樣流中では、 $\Gamma$  を大きくすると、全てのケースで不安定なリミットサイクルが存在するが、乱流中では一樣流中に比して、よりソフトなギャロッピングが認められる。今回の実験では、設定風速等の制約から、 $\frac{1}{2} U_{cr}$  付近での渦励振振動の測定は行なっていない。

3.  $L_x^u/b$  の効果 Fig. 3, 4 に  $\Gamma$  がほぼ 40 に等しい場合の応答値を示す。これまで、乱流中の応答特性に関しては、 $I_u$  の効果が支配的であり、 $L_x^u/b$  の効果は少ないとされてきたが、2:3, 1:2 の面断面とも、乱流中に於ては  $L_x^u/b$  が大なる程応答がより高風速側へ移っていくことが認められる。一樣流中では、一番小さい断面がいずれも他の2つのものとは若干様相を異にすることが認められる。この要因としては、アスペクト比、摩擦率の相異、端板の効果等々が考えられるが、乱流中よりも一樣流中の方が全体的な傾向として、応答はより sensitive な現われ方をすると云えよう。Fig. 5, 6, 7 には、 $\eta = 0.2$  に於ける  $\Gamma - U_r - L_x^u/b$  の関係を示す。 $\Gamma$  は  $\eta = 0.2$  に於ける  $\delta_s$  から求めたものである。1:1 断面では  $L_x^u/b$  の変化に対してそれほど顕著な差は生じていないが、2:3, 1:2 となりにつれ  $L_x^u/b$  が大なる程、 $\Gamma$  によらず応答は高風速側へと移り、ほぼ直線的な傾向を示すようである。

4. 考察 一樣流中での断面の大きさによ

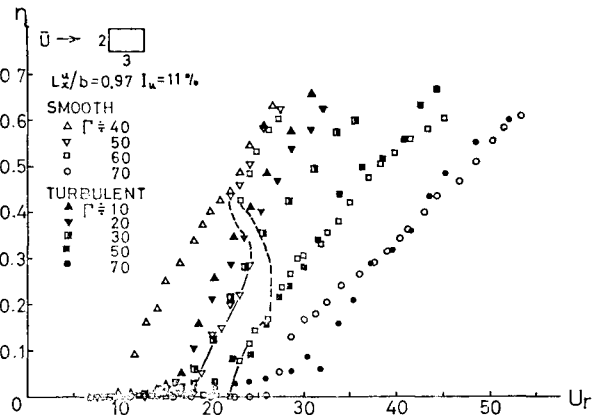


Fig. 1. 2/3 角柱における  $\Gamma$  の効果

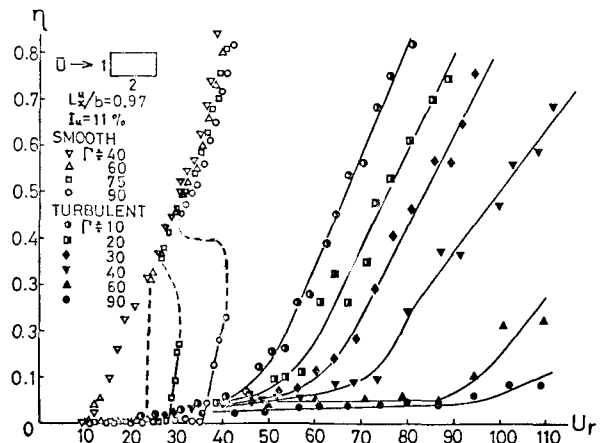


Fig. 2. 1/2 角柱における  $\Gamma$  の効果

る応答特性の差の原因が明確でない時、  
 断定的な言い方は出来ないが、乱流中での応  
 答特性の方が比較的安定した傾向を有して  
 ることから、少なくとも  $L_x^u/b$  の効果は、  
 $L_x^u/b$  が大きくなる程著しく、また  $b/d$  が  
 大なる程大きいということが言えよう。

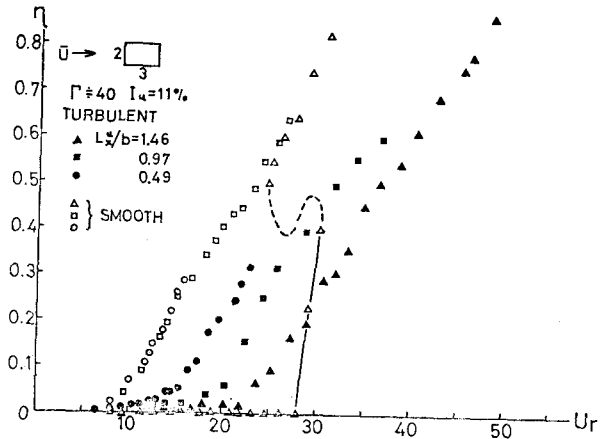


Fig. 3 2/3 角柱における  $L_x^u/b$  の効果

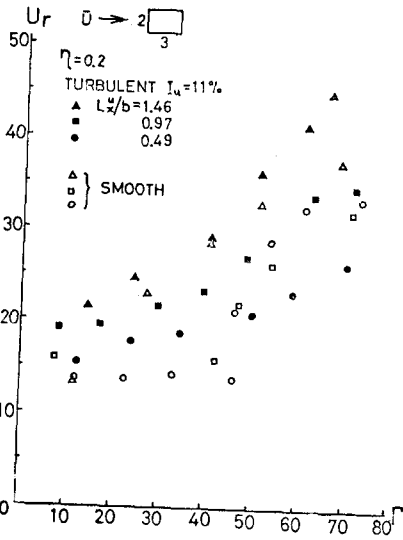


Fig. 6 2/3 角柱の  $\Gamma - U_r - L_x^u/b$

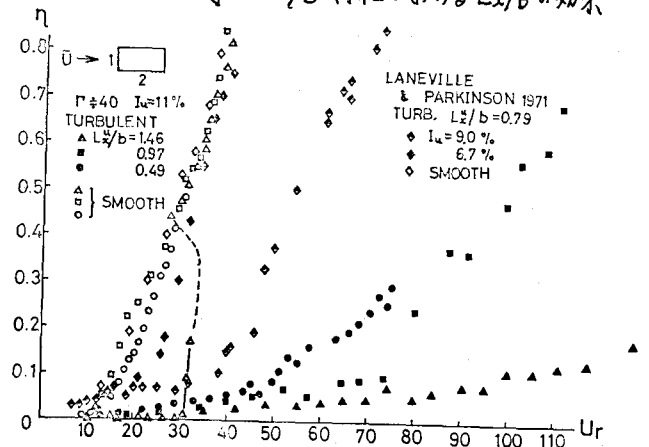


Fig. 4 1/2 角柱における  $L_x^u/b$  の効果

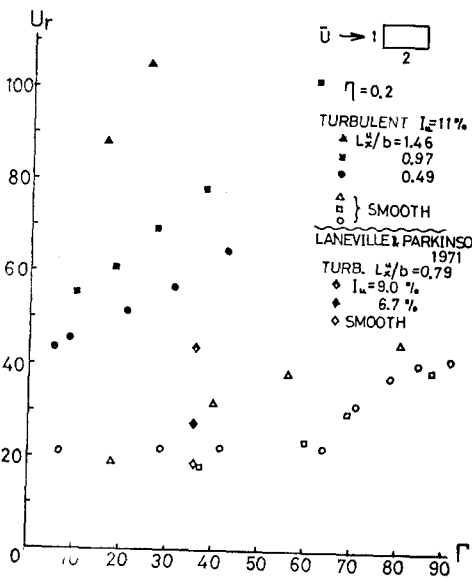


Fig. 7 1/2 角柱の  $\Gamma - U_r - L_x^u/b$

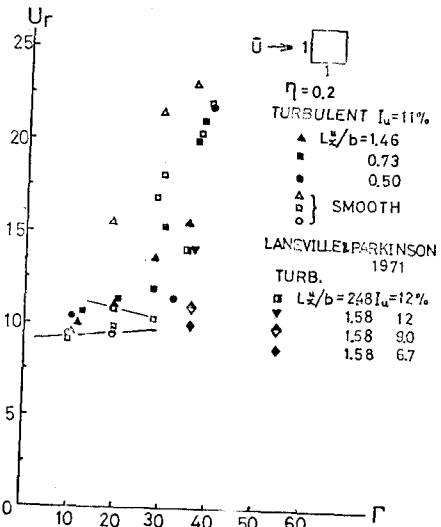


Fig. 5 1/4 角柱の  $\Gamma - U_r - L_x^u/b$